



(11) RO 126778 A0

(51) Int.Cl.

F04B 49/06 (2006.01).

G01F 23/00 (2006.01).

G06F 19/00 (2006.01)

(12)

CERERE DE BREVET DE INVENTIE

(21) Nr. cerere: **a 2011 00270**

(22) Data de depozit: **29.03.2011**

(41) Data publicării cererii:
28.10.2011 BOPI nr. **10/2011**

(71) Solicitant:
• **POPESCU FLORENTIN ȘTEFAN,**
STR. FRATII GOLEȘTI NR. 108, BL. S4,
SC. B, ET. 1, AP. 7, PITEȘTI, AG, RO

(72) Inventatorii:
• **POPESCU FLORENTIN ȘTEFAN,**
STR. FRATII GOLEȘTI NR. 108, BL. S4,
SC. B, ET. 1, AP. 7, PITEȘTI, AG, RO

(74) Mandatar:
BROJBY PATENT INNOVATION,
STR.REPUBLICII, BL.212, SC.D, AP.11,
PITEȘTI, JUDEȚUL ARGEŞ

(54) METODĂ DE ALEGERE ȘI MONTAJ A POMPELOR CU CAVITĂȚI PROGRESIVE UTILIZATE ÎN SISTEMELE DE EXPLOATARE A SONDELOR DE EXTRACTIE A ȚÎTEIULUI

(57) Rezumat:

Invenția se referă la o metodă pentru alegerea, în vederea montării, a unei pompe cu cavități progresive, folosite, în special, în extractia țîteiului prin sonde de extractie. Metoda conform inventiei constă în crearea unui bloc decizional de alegere a pompei, cu o structură de nouă etape, având, ca date de ieșire: tipul pompei cu cavități progresive (**PCP**), turăția (n_{PCP}), debitul (Q_{PCP}) și presiunea (p_{PCP}) pompei (**PCP**), unui bloc intermediar de calcul al forței asociate greutății prăjinilor de pompare (F_{GB}), al forței exercitate de greutatea lichidului (F_{GL}), al forței axiale dintr-o pompă (F_A) și al forței de însurubare (F_S), unui bloc decizional de montare al pompei (**PCP**), cu o structură de cinci etape, în care sunt calculate, prin zece iteratii successive, fortele exercitate de greutatea lichidului ($F_{GL,i}$), forțele axiale (F_A,i) și alungirile tijelor de pompare ($\Delta L_{Tj,i}$) corespunzătoare a zece valori de lungimi ale prăjinilor de pompaj ($L_{Tj,i}$), cuprinse în intervalul dintre nivelul dinamic de funcționare a sondelor (N_d) și adâncimea capului perforaturilor (H_{CAP}). Blocul decizional de montare, conținând, în etapa a cinsprezecea, un bloc de decizie prin intermediul căruia utilizatorul decide, pe baza parametrilor turăție (n_{PCP}), debit (Q_{PCP}) și presiune (p_{PCP}), rezultate din etapa a șasea, lungimile prăjinilor de pompare ($L_{Tj,i}$), rezultate în etapa a șaisprezecea, și alungirile

tijelor de pompare ($\Delta L_{Tj,i}$), rezultate în etapa a paisprezecea, dacă reia ciclul etapizat, prin introducerea altor date initiale de intrare, sau dacă decide montajul pompei (**PCP**) cu parametrii rezultați.

Revendicări: 7

Figuri: 2

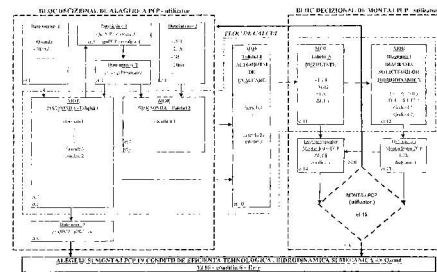


Fig. 2

Cu începere de la data publicării cererii de brevet, cererea asigură, în mod provizoriu, solicitantului, protecția conferită potrivit dispozitîilor art.32 din Legea nr.64/1991, cu excepția cazurilor în care cererea de brevet de inventie a fost respinsă, retrasă sau considerată ca fiind retrasă. Întînderea protecției conferite de cererea de brevet de inventie este determinată de revendicările conținute în cererea publicată în conformitate cu art.23 alin.(1) - (3).



RO 126778 A0

METODA DE ALEGERE SI MONTAJ A POMPELOR CU CAVITATI PROGRESIVE UTILIZATE IN SISTEMELE DE EXPLOATARE A SONDELOR DE EXTRACTIE A TITEIULUI

Inventia de fata de refera la o metoda de alegere si montaj a pompelor cu cavitati progresive utilizate in sistemele de exploatare a sondelor de extractie a titeiului, destinata a fi utilizata in industria petroliera, dar si in domeniul de extractie prin pompaj elicoidal al altor zacaminte lichide subterane.

Este cunoscut faptul ca, incepand cu 1985, pompajul de adancime cu pompe cu cavitati progresive (PCP) s-a extins in mod spectaculos, aceste tipuri de pompe utilizandu-se in prezent si in Romania, la un numar de peste 1500 de sonde de extractie a titeiului .

Principiul de functionare al acestor pompe tip PCP are la baza un rotor, a carui arie laterala exterioara este o suprafata elicoidală simplă, care este plasat in interiorul unui stator a carui arie laterala interioara este o suprafata elicoidală dubla realizata dintr-un elastomer.

La antrenarea in miscare de rotatie a rotorului, cavitatile formate intre rotor si stator se deplaseaza de la un capat la celalalt al pompei, fapt care conduce la o curgere continua a fluidului aspirat.

Se cunoaste de asemenea ca o problema foarte importanta pentru siguranta, functionarea si exploatarea eficienta si cu randament ridicat al acestor PCP, o constituie in mod absolut, alegerea pompei, pe de o parte si distanta la care rotorul pompei PCP este montat in corpul pompei, in raport cu boltul opritor.

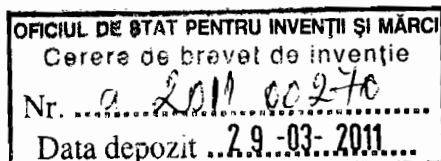
In general aceasta distanta este recomandata de catre producatorii de pompe PCP, ea incadrandu-se de regula intre 15-40 cm.

Actualmente, introducerea rotorului si a tijelor de pompare implica urmatoarele etape tehnologice importante :

- se ataseaza rotorul la prima bucată de tija de pompare si se introduce intreaga garnitura de tije prin insurubare ;
- dupa insurubarea ultimei tije de pompare, garnitura de tije de pompare se introduce cu atentie, pentru a depista momentul in carea aceasta incepe sa prezinte o miscare de rotatie in sensul acelor de ceasornic, fapt ce indica patrunderea rotorului in stator ;
- se determina momentul in care rotorul se sprijina pe boltul opritor si se marcheaza aceasta distanta pe prajina de pompare, la nivelul teului, dupa care se ridică in continuare garnitura cu distanta corespunzatoare pozitiei de functionare a rotorului pompei in stator ;
- dupa stabilirea pe garnitura de tije de pompare a punctului de referinta se adauga distantele corespunzatoare echipamentelor de suprafata (flansa, unitatea de antrenare, clema de fixare, portiunea de tija lustruita care va ramane deasupra tijei de fixare) rezultand in final pozitia de referinta care se va marca pe garnitura de tije de pompare. In general aceasta distanta este recomandata de catre producatorii de pompe PCP, ea incadrandu-se de regula intre 15-40 cm.

Aceasta metoda de montaj prezinta urmatoarele dezavantaje :

- montajul rotorului PCP are in vedere numai solicitările mecanice si hidraulice statice, netinand cont de esforurile hidrodinamice care apar in timpul functionarii ;
- se negligeaza luarea in calcul a manifestarilor hidrodinamice ce se produc in pompa, cresterea presiunii fluidului extras de la presiunea de sumergenta, la presiunea de refulare a PCP ;
- fixarea rotorului in PCP induce erori de 5 - 20 % pentru sondele de pana la 1100 m adancime, erori care au ca efect in timpul functionarii contactul accidental dintre boltul opritor si rotor in 10 % din situatii ;
- fixarea rotorului in PCP induce erori de 20-40% pentru sondele de peste 1100 m adancime, valoarea erorilor fiind direct proportionala cu debitul sondei cuprins de regula intre 10-100 mc/zi,



- se negligeaza influenta nivelului dinamic care se manifesta in cresterea de presiune din pompa PCP ;

- nu are in vedere functionarea pompei la o turatie , cat mai mica pentru a creste fiabilitatea acesteia, ci numai optimizarea dimensională a echipamentelor sistemului de antrenare si etansare (prajini de pompaj , tevi de extractie si unitate de antrenare, etc.) ;

- actuala metoda genereaza echipari subdimensionate din punct de vedere al debitului sondei. De exemplu, o sonda care produce 9 mc/zi este echipata cu PCP de 10 mc fara sa se tina seama ca eficienta prevazuta de producator la 100 rot/min este de 79% , deci pompa va produce cu 7,9 mc/zi , fiind necesar in acest caz marirea turatiei si implicit o solicitare mai mare a sistemului de antrenare al rotorului.

In literatura de brevete aceste aspecte de alegere si montaj ale pompelor cu cavitatie progresiva se regasesc in mod tangential in cateva brevete.

In brevetul de inventie **US 5209294** este prezentata o pompa PCP al carui stator, cuplat de tijele de pompaj, in timp ce rotorul este montat prin intermediul unui arbore care prezinta doua articulatii. Acestea au rolul de a asigura plasarea corecta in plan vertical a rotorului in statorul PCP, cat si eliminarea unor esferturi mecanice suplimentare in tubulatura de extractie.

Brevetul de inventie **US 7874369**, trateaza o solutie de antrenarea in miscarea rotatie la suprafata, in unitatea de antrenare.

In brevetul de inventie **US 7869978** este prezentata o metoda si un aparat pentru determinarea nivelului de lichid si/sau a debitului de iesire in timpul functionarii unei pompe centrifuge de extractie a titeiului sau gazelor, care include un model cu reactie tip feedback care are ca scop obtinerea valorii cuplului si a vitezei de rotatie a pompei. De asemenea, in inventie este prezentat un model de pompa care deriva din valorile debitului fluidului, din valorile estimate ale parametrilor de functionare ale pompei, din valorile estimate ale nivelului fluidului de extractie si din alte valori ale sistemului de pompare.

In cererea de brevet **US 2009136371A1** este prezentata o solutie de fixare a rotorului PCP intr-un dispozitiv cu umar, avand rolul de a se evita contactul accidental dintre rotor si boltul opritor. Dezavantajul acestei solutii consta in complicarea echipamentului de adancime si a geometriei constructive a rotorului.

Problema tehnica pe care o rezolva inventia consta in realizarea unei metode de alegere si montaj a pompelor cu cavitatie progresiva, metoda care permite, pentru o situatie data in campul de exploatare, alegerea tipului de pompa cel mai eficient, pe de o parte si pe de alta parte, determinarea adacimii de fixare a corpului pompei in raport cu boltul opritor si determinarea cotei de montaj a rotorului in statorul pompei.

Inventia de fata inlatura dezavantajele de mai sus, prin aceea ca are la baza un bloc decizional de alegere al pompei PCP, care are ca date de intrare principali parametrii tehnologici ai sondei , ai zacamantului si ai echipamentelor de antrenare a rotorului PCP , un bloc decizional de montaj al rotorului in statorul PCP, care are ca data principala de iesire distanta dintre capatul rotorului si extremitatea inferioara a elastomerului din statorul PCP si o legatura inversa de feedback, de reluare a metodei, ce presupune schimbarea de catre utilizator a datelor initiale de intrare din blocul decizional de alegere al PCP , in cazul in care se constata ca procesul de optimizare nu aduce un randament ridicat al instalatiei de exploatare a sondei.

Avantajele inventiei sunt :

- tine seama de esferturile hidrodinamice ce se manifesta in PCP in timpul functionarii acesteia ;
- tine seama de esferturile hidrodinamice ce se manifesta in conducta de colectare parc-sonda si in separatorul de fluide cu care este echipat parcul colector ;
- tine seama de faptul ca odata pornita pompa PCP, acesta are rolul de izolare a hidrodinamicii sondei de hidrodinamica transportului fluidului de la pompa la parc , iar fenomenele hidrodinamice din PCP asigura energia necesara transportului debitului sondei la rezervor ;

In figura 2 este prezentata schema bloc de alegere si montaj a pompei cu cavitati progresive PCP, conform inventiei.

Exemplu de realizare

Sistemele de exploatare al sondelor de extractie a titeiului contin doua componente principale :

- componenta de exploatare de suprafata, care cuprinde rezervorul de colectare a lichidului extras (apa de zacamant si titei), separatorul, care are rolul de separare a lichidelor de gaze si de impuritatile mecanice, conducta de transport a fluidelor de la sonda la parc, capul de pompaj (eruptie), cu rol de etansare intre sonda, conducta de transport si unitatea de antrenare a rotorului pompei cu cavitati progresive prin intermediul garniturii de prajini de pompaj;

- componenta de exploatare de adancime, care cuprinde sonda, tevile de extractie, prajinile de pompaj, pompa cu cavitati progresive PCP, ancora de fixare a tevilor de extractie si a pompei.

Aceste componente sunt definite de o serie de parametri tehnologici cum ar fi debitul sondei, debitul pompei, turatia pompei, etc. si de o serie de parametrii geometrici constructivi, cum ar fi inaltimea sondei, lungimea pompei, lungimea prajinilor de potrivire, lungimea prajinilor de pompaj, etc..

Asa cum se vede din schema bloc de alegere si montaj a pompei cu cavitati progresive PCP, conform inventiei, prezentata in fig. 2, contine un bloc decizional de alegere al pompei PCP si un bloc decizional de montaj al PCP, fiecare dintre acestea fiind caracterizate de o succesiune logica de operatii in etape, efectuate de utilizator si de program de calcul, in sine cunoscut, ca o aplicatie a Microsoft Office Excel (MOE).

Datele de intrare din blocul de alegere al PCP sunt constituite din datele initiale ale sistemului de exploatare de la suprafata, respectiv :

- presiunea de functionare a separatorului din parcul colector , $p_{separator}$ (at) ;

- elevatia parcului , E_{parc} (m) ;

- elevatia sondei , E_{sond} (m) .

- lungimea conductei de amestec , L_{LA} (m) ;

si datele initiale ale sistemului de exploatare de adancime, respectiv:

- debitul sondei , Q_{sond} (mc/zi), calculat in baza inregistrarilor anterioare in timpul functionarii sondei sau din estimari statistice ale zacamantului din areal;

- impuritatea , I (%), reprezentand procentul de apa din zacamant ;

- densitatea titeiului , D_{titei} (kg/mc), care, in cazul in care nu se cunoaste valoarea pe sonda, se utilizeaza densitatea medie a parcui colector unde produce sonda ;

- densitatea apei de zacamant , D_{az} (kg/mc) ;

- adancimea capului perforaturilor sondei , H_{CAP} (m), $H_{CAP}=H_{SOND}$;

- nivelul dinamic de functionare al sondei , Nd (m) ;

- densitatea otelului D_{otel} din care sunt confectionate prajinile de pompaj, (7850 kg/mc);

- diametrul prajinilor de pompaj , D_{TJ} (inch) ;

- lungimea prajinilor de pompaj, incluzand si lungimea rotorului PCP, L_{TJ} (m)

- modulul de elasticitate E al lui Young , $E = 210\ 000$ (N/mm²).

Pentru gasirea valorii optime a adancimii de montaj a PCP, metoda permite utilizarea prin iteratie a cel putin 10 valori ale tijelor de pompaj L_{TJ} i, cuprinse intre nivelul dinamic de functionare al sondei Nd (m) si adancimea capului perforaturilor sondei , H_{SOND} , asa cum se vede in fig. 1, astfel incat sa fie indeplinita conditia :

$$Nd < L_{TJ1} < \dots < L_{TJ10} < H_{SOND} \quad (\text{conditia 1})$$

Este cunoscut faptul ca in general producatorii de pompe PCP au in fabricatie diverse tipuri, cu valori de debite standardizate la valori de 4, 7, 10, 16, 25, 33, 66 si 110 mc/zi, cat si presiuni de lucru standardizate la valori de 60, 90, 100, 110, 120, 130, 150, 180, 200, 240 si 300 at..

Aşa cum am mentionat, metoda de alegere si montaj al PCP, comporta mai multe etape.

In etapa 1 utilizatorul inregistreaza datele primare de intrare, completand tabelul 1, cunoscut in domeniu ca si "Fisa sonda". Aceste date primare sunt: debitul sondei Q_{Sond} , adancimea sondei H_{SOND} , care este egala cu adancimea capului perforaturilor, H_{CAP} , eficienta de functionare a PCP, respectiv, Ef , impusa in practica la o valoare de 85 %, lungimea conductei de transport, L_{LA} , elevatia sondei El_{Sond} , elevatia parcoului, El_{parc} si presiunea separatorului $p_{separat}$.

In etapa 2, dupa introducerea de catre utilizator a datelor de intrare primare, in tabelul 1 se genereaza automat, utilizand formulele (1),...,(5), prezентate mai jos, prin intermediul aplicatiei MOE, debitul minim al pompei Q_{mPCP} (mc/zi) si presiunea minima a pompei, p_{mPCP} (at), ca date primare de iesire, utile in etapa 3.

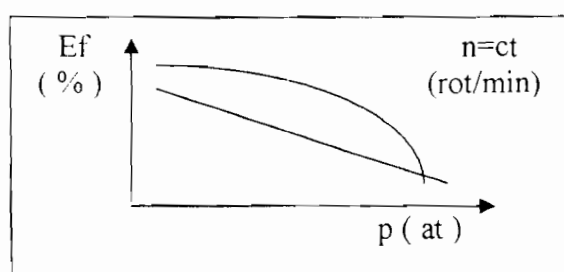
Tabel 1 Fisa sonda

| INDICATIV SONDA | ANACONDA | |
|-----------------------------------|----------|---------|
| Denumire variabila | Valoare | u.m. |
| Q_{Sond} | 18.0 | mc |
| $H_{SOND} = H_{CAP}$ | 1823.0 | m |
| L_{LA} | 1250.0 | m |
| $El_{parc} - El_{Sond}$ | 3.0 | m |
| $p_{separat}$ | 8.0 | at |
| p_{LA} - conditia (3) | 1.5 | at |
| p_{EI} - formula (2) | 0.3 | at |
| Ef - impus | 85 | % |
| Q_{mPCP} - formula (1) | 21.2 | mc |
| p_{mPCP} - formula (3) | 192.1 | at |
| $Q_{PCP} > Q_{mPCP}$ - conditia 3 | | mc |
| $p_{PCP} > p_{mPCP}$ - conditia 4 | | at |
| $n = 100$ sau formula (5) | 100 | rot/min |
| Tipul de PCP - ales | | |

De mentionat, ca pentru punerea in practica a metodei , conform inventiei , sunt importanti doi parametri care se regasesc in fisele de proba ale pompelor PCP:

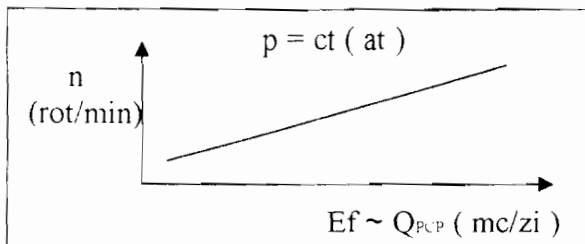
a) eficienta Ef (%) pompei PCP la turatie constanta , $n = ct$ (rot/min), care scade odata cu cresterea presiunii . p (at) , la care functioneaza PCP, ca mai jos:

Grafic 1



b) eficienta Ef (%) pompei PCP la presiune constanta, $p = ct$ (at), care creste odata cu cresterea turatiei , n (rot/min) , ca mai jos:

Grafic 2



Datorita modului de realizare a sondei, respectiv, diametrul coloanei de explcatare, grosimea peretelui coloanei de exploatare, adancimea stratului de zacamant, se disting 4 cazuri de alegere a PCP.

In cazul sondelor la care diametrul coloanei de exploatare, grosimea peretelui acesteia si debitul sondei permit utilizarea unui PCP la o turatie de 100 rot/min pentru alegerea acesteia se evalueaza urmatorii parametrii , ce vor deveni date de iesire primare :

-debitul minim necesar pompei PCP , Q_{mPCP} (mc/zi) ;

-presiunea minima necesara de functionare a PCP , p_{mPCP} (at) .

Debitul minim necesar al PCP, Q_{mPCP} , este in functie de debitul sondei, Q_{Sond} si de eficienta impusa, Ef (%) de functionare a PCP si se calculeaza cu relatia:

$$Q_{mPCP} = Q_{Sond} / Ef, \text{ (mc/zi)} \quad (1)$$

In acest caz se calculeaza presiunea minima de functionare a PCP, p_{mPCP} (at), cunoscandu - se urmatorii parametrii :

-adancimea capului perforaturilor, H_{CAP} (m), care se va asimila in calcule cu adancimea a sondei, H_{SOND} (m) , $H_{SOND} = H_{CAP}$;

-pierderea de presiune in conducta de colectare la parc a fluidului extras, p_{LA} (at), care depinde de lungimea acesteia , L_{LA} (m), impunandu-se concomitent un set de conditii 2 :

-pentru conducte cu $L_{LA} < 1500$ m , $p_{LA} = 1,5$ at ;

-pentru conducte cu $L_{LA} > 1500$ m , $p_{LA} = 3,0$ at ;

-pentru conducte cu $L_{LA} > 5000$ m se face calculul pierderii de presiune prin metodele consacrate in transportul prin conducte ;

(conditii 2)

-pierderea de presiune p_{EI} , datorata diferenței dintre elevatia sondei El_{Sond} si elevatia parcului El_{parc} , care se determina ca mai jos :

$$p_{EI} = (El_{parc} - El_{Sond})/10 \text{ (at)} \quad (2)$$

- presiunea de lucru a separatorului , $p_{separator}$ (at), calculata ca mai jos.

$$p_{mPCP} = p_{separator} + p_{LA} + p_{EI} + (H_{SOND}/10) , \text{ (at)} \quad (3)$$

In cazul sondelor de diametru mic al coloanei de exploatare, cuprins intre 5 1/2 inch si 6 inch, care produc cu debite intre 80 si 120mc/ zi se recomanda de regula o pompa PCP cu debitul de 60 - 66 mc/zi .

Pentru calcularea turatiei n a PCP se foloseste regula de trei compusa, tinandu-se seama de urmatorii parametrii :

- debitul sondei , Q_{Sond} (mc/zi) ;

- turatia , $n = 100$ rot/min ;

- eficienta Ef_{SUP} (%) pe care producatorul o indica in fisa de proba pentru PCP la o turatie imediat superioara celei de baza ca de ex : 150 rot/min , 170 rot/ min .

- debitul realizat de pompa PCP la o eficienta de 85% , Q_{85PCP} (mc/zi), care se calculeaza cu relatia :

66

$$Q_{85PCP} = Q_{PCP} * 85 / 100 \text{ (mc/zi)}$$

Forma generala de aplicare a formulei regulii de trei compusa este urmatoarea :

$$\begin{array}{ll} 85\% & \ldots \ldots \ldots \ldots \ldots Q_{85PCP} \ldots \ldots \ldots \ldots \ldots 100 \text{ rot/min} \\ Ef_{SUP} & \ldots \ldots \ldots \ldots \ldots Q_{Sond} \ldots \ldots \ldots \ldots \ldots X \end{array}$$

Valoarea turatiei la care va trebui utilizata pompa PCP se va face prin aplicarea relatiei :

$$X = (85\% * Q_{Sond} * 100) / (Ef_{SUP} * Q_{85PCP}) \text{ (rot/min)} \quad (5)$$

Calculul presiunii minime a PCP , p_{mPCP} , se face ca in cazul sondelor la care diametrul coloanei de exploatare, grosimea peretelui acestei si debitul sondei permit utilizarea unui PCP la o turatie de 100 rot/min .

In cazul sondelor cu debite de productie intre 150 - 200 mc/zi, pentru care se solicita echiparea sondelor cu pompe PCP cu debit de 100 - 120 mc/zi, calculul turatiei n (rot/min) se face aplicand regula de trei compusa in aceleasi conditii, similar cazului sondelor de diametru mic al coloanei de exploatare (5 1/2 inch sau 6 inch), care produc cu debite intre 80 si 120mc/ zi, iar calculul presiunii minime a PCP , p_{mPCP} , se face ca in cazul sondelor la care diametrul coloanei de exploatare, grosimea peretelui acestei si debitul sondei permit utilizarea unui PCP la o turatie de 100 rot/min .

In cazul sondelor cu debite mai mari de 50 mc/zi si adancimi de fixare a pompei PCP mai mari de 1100 m, care au coloanele cu diametrul de 5 1/2 inch si obiectivele de exploatare sunt situate la o adancime mai mare de 1500 m, intrucat grosimea peretelui coloanei nu permite utilizarea unor pompe de diametru exterior mai mare de 3 1/2 inch, se utilizaza pompe PCP cu debite intre 30 – 33 (mc/zi) , al caror gabarit permite echiparea .

Calculul turatiei n (rot/min) se va face aplicand regula de trei compusa in aceleasi conditii ca in cazul sondelor de diametru mic al coloanei de exploatare (5 1/2 inch sau 6 inch), care produc cu debite intre 80 si 120 (mc/ zi)

Calculul presiunii minime a PCP , p_{mPCP} , se va face ca in cazul sondelor la care diametrul coloanei de exploatare, grosimea peretelui acestei si debitul sondei permit utilizarea unui PCP la o turatie de 100 rot/min .

In etapa 3, datelor de iesire primare Q_{mPCP} si p_{mPCP} rezultate din etapa 2, utilizatorul le aplica conditiile 3 si 4 pentru alegerea PCP din catalogul producatorului, rezultand o pompa PCP cu un debit superior celui calculat, aplicand conditia :

$$Q_{PCP} > Q_{mPCP} \text{ (mc/zi)} \quad (\text{conditia 3}), \text{ unde}$$

Q_{PCP} reprezinta debitul de catalog prevazut de producator al pompei PCP .

Utilizatorul alege din catalogul producatorului o PCP cu o presiune maxima de lucru mai mare decat presiunea minima calculata , conform conditiei :

$$p_{PCP} > p_{mPCP} \text{ (at)} \quad (\text{conditia 4}), \text{ unde}$$

p_{PCP} reprezinta presiunea maxima la care poate functiona PCP pentru a asigura debitul Q_{PCP} .

In etapa 4 , din catalogul producatorului se identifica datele de intrare secundare, respectiv parametrii de functionare si cei constructivi ai PCP si tipul PCP .

- Q_{PCP} , de exemplu $Q_{PCP} = 25,6 \text{ mc/zi} ;$
- p_{PCP} , de exemplu $p_{PCP} = 200 \text{ at} ;$
- diametrul exterior al rotorului PCP-ului , D_{RPCP} (inch) , de exemplu $D_{RPCP} = 2,25 \text{ inch} ;$
- lungimea rotorului a PCP , (m) , in exemplu este de 6,6 m ;
- lungimea mantalei ca data de catalog a PCP , (m) , de exemplu este de 7,0 m ;
- distanta i, dintre boltul opritor si elastomer ca data de catalog, (m), de exemplu $i = 0,4 \text{ m} ;$
- lungimea elastomerului ca data de catalog (m) , de exemplu 6,0 m ;
- tipul pompei , in exemplu este PITON 160-TP-2000-SL .

Aceste date sunt introduse de utilizator atat in tabelul 1, cat si in tabelul 2, Fisa sonda.

In etapa 5, utilizatorul completeaza tabelul 1 cu datele Q_{PCP} , p_{PCP} si tipul PCP de catalog, ca mai jos :

Tabel 1 Fisa sonda

| INDICATIV SONDA | ANACONDA | |
|-----------------------------------|-----------------------------|---------|
| Denumire variabila | Valoare | u.m. |
| Q_{Sond} | 18.0 | mc |
| $H_{SOND} = H_{CAP}$ | 1823.0 | m |
| $L_{L.A}$ | 1250.0 | m |
| $El_{parc} - El_{Sond}$ | 3.0 | m |
| $p_{separat}$ | 8.0 | at |
| p_{LA} - conditia (2) | 1.5 | at |
| p_{EL} - formula (2) | 0.3 | at |
| Ef - impus | 85 | % |
| Q_{mPCP} - formula (1) | 21.2 | mc |
| p_{mPCP} - formula (3) | 192.1 | at |
| $Q_{PCP} > Q_{mPCP}$ - conditia 3 | 25,6 | mc |
| $p_{PCP} > p_{mPCP}$ - conditia 4 | 200 | at |
| $n = 100$ sau formula 5 | 100 | rot/min |
| Tipul de PCP - ales | PITON 160-TP-2000-SL | |

In etapa 6 se retine faptul ca din tabelul 1, Fisa sonda, parametrii Q_{PCP} , p_{PCP} , n si tipul de catalog al PCP pot deveni date de iesire secundare in situatia in care utilizatorul va decide montajul PCP ales pentru sonda de extractie si nu va relua procesul de evaluare al eficientei tehnologice conform etapei 15, prezentate mai jos .

In etapa 7 utilizatorul completeaza tabelul 2 cu diametrul rotorului pompei PCP, D_{RPCP} (inch), rezultat din etapa 4., tot ca data secundara de intrare.

In etapa 8 utilizatorul completeaza cu datele de intrare terciare tabelul 2, introducand urmatorii parametrii:

- nivelul dinamic de functionare , Nd (m);
- densitatea titeiului D_{titei} (kg/mc) ;
- densitatea apei de zacamant , D_{az} (kg/mc) ;
- impuritatea , I (%), reprezentand procentul de apa din zacamant ;
- diametrul prajinilor de pompaj , D_{TJ} (inch) ;
- lungimea prajinilor de pompaj, inclusand si lungimea rotorului PCP-ului, L_{TJ} (m)
- densitatea otelului D_{otel} , din care sunt confectionate prajinile de pompaj, (7850kg/mc);

In etapa 9, respectand conditia 1, utilizatorul stabileste prin iteratie lungimile de prajini L_{TJ1} ... L_{TJ10} , completand tabelul 2 si realizand astfel, setul de date necesare evaluarii solicitarilor hidrodinamice si mecanice din pompa PCP. In exemplu de fata se utilizeaza o valoare de iteratie de 80 m intre doua lungimi de prajini succesive, $L_{TJ,i+1}$ si $L_{TJ,i}$.

Tabel 2 Fisa sonda

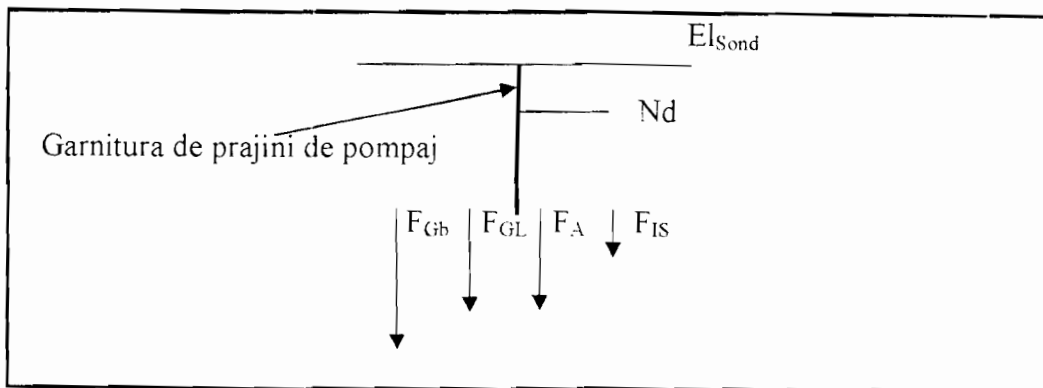
| INDICATIV SONDA | | ANACONDA | |
|------------------------------------|---------|----------|--|
| Denumire variabila | Valoare | u.m. | |
| Parametri prajinilor de pompaj | | | |
| D _{TJ} | 0.8750 | inch | |
| L _{TJ} 1 - (conditia 1) | 1000.00 | m | |
| L _{TJ} 2 - (conditia 1) | 1080.00 | m | |
| L _{TJ} 3 - (conditia 1) | 1160.00 | m | |
| L _{TJ} 4 - (conditia 1) | 1240.00 | m | |
| L _{TJ} 5 - (conditia 1) | 1320.00 | m | |
| L _{TJ} 6 - (conditia 1) | 1400.00 | m | |
| L _{TJ} 7 - (conditia 1) | 1480.00 | m | |
| L _{TJ} 8 - (conditia 1) | 1560.00 | m | |
| L _{TJ} 9 - (conditia 1) | 1640.00 | m | |
| L _{TJ} 10 - (conditia 1) | 1720.00 | m | |
| D _{otel} -impus | 7850.00 | kg/mc | |
| Parametrii fluidului extras | | | |
| D _{titei} | 887.5 | kg/mc | |
| D _{az} | 1046.0 | kg/mc | |
| I - impuritatea | 82 | % | |
| Parametrii catalog PCP | | | |
| D _{RPCP} | 2.250 | inch | |
| Parametri masuratorilor sondei | | | |
| Nd | 978.0 | m | |

In etapa 10, in tabelul 4 in care sunt calculate solicitările axiale hidrodinamice și mecanice care acionează asupra garniturii de prajini de pompaj, în scopul obținerii valorilor alungirii prajinilor corespunzătoare lungimilor de prajini de pompaj stabilite în etapa 9, pentru a putea determina poziția de montaj a mantalei PCP și a rotorului în stator, respectiv alungirea prajinilor de pompaj alese de utilizator în etapa 14 , ΔL_{TJi} .

În aceste condiții putem constata forțele, conform graficului 3, care acionează asupra garniturii de prajini de pompaj, respectiv :

- forța data de greutate a prajinilor de pompaj , F_{Gb} (kgf) ;
- forța data de greutatea coloanei de lichid din spațiul inelar , F_{GL} (kgf), determinată de diametrul exterior al rotorului PCP-ului , D_{RPCP} (inch) și diametrul prajinilor de pompaj , D_{TJ} (inch) ;
- forța axială hidrodinamica ce solicită rotorul , F_A (kgf), data de diferență de presiune dintre presiunea maximă de catalog a PCP , p_{PCP} (at) și presiunea de sumergență a PCP , p_{sum} (at) ;
- forța de insurubare conform datelor tehnice ale producătorilor , F_{IS} (kgf).

Grafic 3



Forța corespunzătoare greutății prajinilor de pompaj, F_G se calculează cu relația:

$$F_G = D_{otel} * V_{TJ} \text{ (kgf)} \quad (6)$$

unde :

- V_{TJ} - volumul prajinilor de pompaj , tine seama de D_{TJ} (m) și L_{TJ} (m) :

$$V_{TJ} = A_{TJ} * L_{TJ} \text{ (mc)} \quad (7)$$

- A_{TJ} - aria secțiunii prajinilor de pompaj , (mp) :

$$A_{TJ} = (3,14 * D_{TJ}^2) / 4 \text{ (mp)} \quad (8)$$

Pentru a tine cont de efectul de flotabilitate se calculează F_{Gb} care reprezintă forța corespunzătoare greutății prajinilor de pompaj corectată de factorul de flotabilitate, b :

$$F_{Gb} = D_{otel} * V_{TJ} * b \text{ (kgf)} \quad (9)$$

unde :

- b - factorul de flotabilitate :

$$b = 1 - (D_{lichid} / D_{otel}), \quad (10)$$

unde D_{lichid} reprezintă densitatea lichidului , (kg/mc) :

$$D_{lichid} = (D_{az} * I + D_{titei} * (100 - I)) / 100 \text{ (kg/mc)} \quad (11)$$

In continuare, aplicația MOE, calculează în tabelul 4 forța corespunzătoare greutății coloanei de lichid, F_{GL} , care acionează pe sectorul inelar dintre diametrul prajinilor de pompaj , D_{TJ} , și diametrul exterior al rotorului , D_{RPCP} :

$$F_{GL} = F_{Lsonda} + F_{Ltransport} + F_{Lseparator} \text{ (kgf)} \quad (12)$$

Calculul forței lichidului din tevile de extractie , F_{Lsonda} (kgf), adică forța cu care lichidul acionează asupra garniturii , tine seama de greutatea coloanei de lichid inelar ce se realizează între diametrul prajinilor de pompaj , D_{TJ} , și diametrul exterior al rotorului , D_{RPCP} , pe toată lungimea garniturii prajinilor de pompaj , L_{TJ} , precum și de densitatea lichidului D_{lichid} :

$$F_{Lsonda} = D_{lichid} * V_{lichid} \text{ (kgf)} \quad (13)$$

- V_{lichid} reprezintă volumul de lichid din spațiul inelar :

$$V_{lichid} = L_{TJ} * A_{SI} \text{ (mc)} \quad (14)$$

- A_{SI} - aria spațiului inelar (m), determinată de diferența dintre aria rotorului PCP corespunzător, D_{RPCP} și aria prajinilor de pompaj cu diametrul D_{TJ} :

$$A_{SI} = 3,14 * (D_{RPCP}^2 - D_{TJ}^2) / 4 \text{ (mp)} \quad (15)$$

Forța lichidului din conductă de transport $F_{Ltransport}$, reprezintă forța coloanei de lichid data de pierderile de presiune în conductă de transport p_{LA} și presiunea determinată de elevația a parcului colector, E_{lparc} și elevația sondei E_{lsond} , (m), respectiv, p_{EI} , care acionează pe aria spațiului inelar A_{SI} .

$$F_{Ltransport} = (p_{LA} + p_{EI}) * 10 * A_{SI} * D_{lichid} \text{ (kgf)} \quad (16)$$

Forța lichidului din separator, $F_{Lseparator}$, reprezintă forța cu care presiunea de lucru a separatorului acionează asupra garniturii de prajini de pompaj :

$$F_{Lseparator} = p_{separator} * 10 * A_{SI} * D_{lichid} \text{ (kgf)} \quad (17)$$

In continuare aplicatia MOE, calculeaza in tabelul 4 forta hidrodinamica axiala din PCP , F_A :

$$F_A = 0,785 * D_{RPCP}^2 * 0,01 * (p_{RPCP} - p_{SUM}), \text{ (kgf)} \quad (18)$$

unde :

- D_{RPCP} (mm);
- p_{RPCP} , reprezinta presiunea de catalog a PCP ;
- p_{SUM} , reprezinta presiunea data de sumergenta PCP calculata astfel :

$$p_{SUM} = (L_{TJ} - N_d) / 10 , \text{ (at)} \quad (19)$$

In continuare aplicatia MOE, calculeaza in tabelul 4 forta de insurubare , F_{IS} (kgf):

$$F_{IS} = (F_{Gb} + F_{GL} + F_A) * (C_{ISi} - 1) , \text{ (kgf)} \quad (20)$$

unde :

- C_{ISi} reprezinta coeficientul de siguranta aplicat sumei solicitarilor forTELOR evaluate anterior , ale caror valori au fost determinate experimental in baza fiselor de proba a PCP si se regasesc in tabelul 3 de mai jos .

Tabelul 3

| L_{TJ} | Q_{Sonda} | C_{IS} | C_{ISi} |
|----------|-----------------------|----------|-----------|
| m | mc/zi | - | - |
| <1100 | < 20 | 1.040 | C_{ISA} |
| <1100 | $20 > Q_{Sonda} < 50$ | 1.055 | C_{ISB} |
| <1100 | > 50 | 1.070 | C_{ISC} |
| >1100 | < 20 | 1.070 | C_{ISD} |
| >1100 | $20 > Q_{Sonda} < 50$ | 1.085 | C_{ISE} |
| >1100 | > 50 | 1.100 | C_{ISF} |

In continuare aplicatia MOE, calculeaza alungirea prajinilor de pompaj , ΔL_{TJ} (m) :

$$\Delta L_{TJ} = (F_T * L_{TJ}) / (E * A_{TJ}) , \text{ (m)} \quad (21)$$

unde .

- F_T reprezinta forta totala care actioneaza asupra prajinilor de pompaj, (N) :

$$F_T = F_{Gb} + F_{GL} + F_A + F_{IS} , \text{ (N)} \quad (22),$$

Aceste date sunt iterate pentru 10 valori ale lungimilor prajinilor de pompaj L_{TJi} , regasindu-se in tabelul 4 de mai jos.

Tabelul 4

| INDICATIV SONDA | ANACONDA | |
|----------------------------------------------------------------------------------------|----------|------|
| Denumire variabila | Valoare | u.m. |
| Calculul greutatii prajinilor de pompaj , F_{Gb1}, \dots, F_{Gb10} | | |
| D_{TJ} | 0.8750 | inch |
| D_{TJ} | 22.2250 | ram |
| D_{TJ} | 0.0222 | m |
| A_{TJ} - formula (8) | 0.0004 | mp |
| L_{TJ1} | 1000.0 | m |
| L_{TJ2} | 1080.0 | m |
| L_{TJ3} | 1160.0 | m |

| | | |
|--------------------------------------|--------|-------|
| L _{TJ} 4 | 1240.0 | m |
| L _{TJ} 5 | 1320.0 | m |
| L _{TJ} 6 | 1400.0 | m |
| L _{TJ} 7 | 1480.0 | m |
| L _{TJ} 8 | 1560.0 | m |
| L _{TJ} 9 | 1640.0 | m |
| L _{TJ} 10 | 1720.0 | m |
| V _{TJ} 1 - formula (7) | 0.388 | mc |
| ... | ... | mc |
| V _{TJ} 10 - formula (7) | 0.667 | mc |
| D _{otel} | 7850.0 | kg/mc |
| F _G 1 - formula (6) | 3043.8 | kgf |
| ... | | kgf |
| F _G 10 - formula (6) | 5235.4 | kgf |
| D _{titei} | 887.5 | kg/mc |
| D _{az} | 1046.0 | kg/mc |
| I - impuritatea | 82 | % |
| D _{lichid} - formula (11) | 1017.5 | kg/mc |
| b - formula (10) | 0.8704 | - |
| F _{Gb} 1 - formula (9) | 2649.3 | kgf |
| ... | ... | kgf |
| F _{Gb} 10 - formula (9) | 4556.8 | kgf |

Calculul greutatii lichidului , F_{GL} 1, ..., F_{GL} 10

| | | |
|-----------------------------------------|--------|-------|
| D _{TJ} | 0.0222 | m |
| D _{RPCP} | 2.250 | inch |
| D _{RPCP} | 57.15 | mm |
| D _{RPCP} | 0.0572 | m |
| A _{S1} - formula (15) | 0.0022 | mp |
| L _{TJ} 1 | 1000.0 | m |
| ... | ... | m |
| L _{TJ} 10 | 1720.0 | m |
| V _{lichid} 1 - formula (14) | 2.1762 | mc |
| ... | ... | mc |
| V _{lichid} 10 - formula (14) | 3.7430 | mc |
| D _{lichid} - formula (11) | 1017.5 | kg/mc |
| p _{LA} - conditia (2) | 1.5 | at |

| | | |
|----------------------------------|--------|-----|
| $p_{separator}$ | 8.0 | at |
| $F_{Lsonda\ 1} - formula\ (13)$ | 2214.2 | kgf |
| ... | ... | --- |
| $F_{Lsonda\ 10} - formula\ (13)$ | 3808.4 | kgf |
| $F_{Ltransport} - formula\ (16)$ | 39.9 | kfg |
| $F_{Lseparator} - formula\ (17)$ | 177.1 | kgf |
| $F_{GL\ 1} - formula\ (12)$ | 2431.2 | kgf |
| $F_{GL\ 2} - formula\ (12)$ | 2608.3 | kgf |
| $F_{GL\ 3} - formula\ (12)$ | 2785.4 | kgf |
| $F_{GL\ 4} - formula\ (12)$ | 2962.6 | kgf |
| $F_{GL\ 5} - formula\ (12)$ | 3139.7 | kgf |
| $F_{GL\ 6} - formula\ (12)$ | 3316.8 | kgf |
| $F_{GL\ 7} - formula\ (12)$ | 3494.0 | kgl |
| $F_{GL\ 8} - formula\ (12)$ | 3671.1 | kgl |
| $F_{GL\ 9} - formula\ (12)$ | 3848.2 | kgl |
| $F_{GL\ 10} - formula\ (12)$ | 4025.4 | kgl |

Calculul forTELOR axiale hidrodinamice in PCP , $F_A\ 1, \dots, F_A\ 10$

| | | |
|-------------------------------|---------|-----|
| D_{RPCP} | 57.1500 | mm |
| p_{PCP} | 200.0 | at |
| $L_{TJ}\ 1$ | 1000.0 | m |
| ... | ... | m |
| $L_{TJ}\ 10$ | 1720.0 | m |
| N_d | 978.0 | m |
| $P_{SUM}\ 1 - formula\ (19)$ | 2.2 | a1 |
| --- | --- | --- |
| $P_{SUM}\ 10 - formula\ (19)$ | 74.2 | at |
| $F_A\ 1 - formula\ (18)$ | 5071.4 | kgf |
| $F_A\ 2 - formula\ (18)$ | 4866.3 | kgf |
| $F_A\ 3 - formula\ (18)$ | 4661.2 | kgf |
| $F_A\ 4 - formula\ (18)$ | 4456.1 | kgf |
| $F_A\ 5 - formula\ (18)$ | 4251.0 | kgf |
| $F_A\ 6 - formula\ (18)$ | 4045.8 | kgf |
| $F_A\ 7 - formula\ (18)$ | 3840.7 | kgf |
| $F_A\ 8 - formula\ (18)$ | 3635.6 | kgf |
| $F_A\ 9 - formula\ (18)$ | 3430.5 | kgf |
| $F_A\ 10 - formula\ (18)$ | 3225.4 | kgf |

Calculul forTELOR de insurubare , (F_{IS1}, \dots, F_{IS10})

| | | |
|---------------------------------------------------------------------------------------------------------------------|----------|-------|
| Q_{Sond} | 18.0 | mc |
| L_{TJ1} | 1000.0 | m |
| ... | ... | m |
| L_{TJ10} | 1720.0 | m |
| C_{ISa} daca $L_{TJ} < 1100$ si $Q_{Sond} < 20$ | 1.040 | - |
| C_{ISb} daca $L_{TJ} < 1100$ si $20 < Q_{Sond} < 50$ | 1.055 | - |
| C_{ISc} daca $L_{TJ} < 1100$ si $Q_{Sond} > 50$ | 1.070 | - |
| C_{ISd} daca $L_{TJ} > 1100$ si $Q_{Sond} < 20$ | 1.070 | - |
| C_{ISe} daca $L_{TJ} > 1100$ si $20 < Q_{Sond} < 50$ | 1.085 | - |
| C_{ISf} daca $L_{TJ} > 1100$ si $Q_{Sond} > 50$ | 1.100 | - |
| C_{ISa} 1 | 1.040 | - |
| C_{ISa} 2 | 1.040 | - |
| C_{ISd} 3 | 1.070 | - |
| | | |
| C_{ISd} 10 | 1.070 | - |
| F_{IS} 1 - formula (20) | 406.1 | kgf |
| --- | --- | |
| F_{IS} 10 - formula (20) | 826.5 | kgf |
| Calculul forței totale care solicită prajinile de pompaj , F_T 1 , ... , F_T 10 | | |
| F_T1 | 10558.0 | kgf |
| ... | ... | |
| F_T10 | 12634.1 | kgf |
| F_T1 - formula (22) | 103573.6 | N |
| --- | --- | --- |
| F_T10 - formula (22) | 123940.8 | N |
| Calculul alungirii prajinilor de pompaj , ΔL_{TJ} 1 , ... , ΔL_{TJ} 10 | | |
| A_{TJ} - formula (7) | 0.0004 | mp |
| L_{TJ1} | 1000.00 | m |
| ---- | ---- | ---- |
| L_{TJ10} | 1720.00 | m |
| E - modulul de elasticitate Young | 210000.0 | N/mmp |
| ΔL_{TJ} 1 - formula (21) | 1.2720 | m |
| ΔL_{TJ} 2 - formula (21) | 1.3986 | m |
| ΔL_{TJ} 3 - formula (21) | 1.5731 | m |
| ΔL_{TJ} 4 - formula (21) | 1.7110 | m |
| ΔL_{TJ} 5 - formula (21) | 1.8526 | m |
| ΔL_{TJ} 6 - formula (21) | 1.9981 | m |

| | | |
|-----------------------------------|--------|---|
| $\Delta L_{TJ} 7 - formula (21)$ | 2.1474 | m |
| $\Delta L_{TJ} 8 - formula (21)$ | 2.3005 | m |
| $\Delta L_{TJ} 9 - formula (21)$ | 2.4573 | m |
| $\Delta L_{TJ} 10 - formula (21)$ | 2.6180 | m |

In etapa 11 aplicatia MOE genereaza datele din tabelului 5, astfel incat sunt puse la dispozitia utilizatorului, in functie de iteratiile alese conform conditiei 1, din etapa 9, ca date esentiale care definesc eficienta tehnologica si economica a pompei PCP.

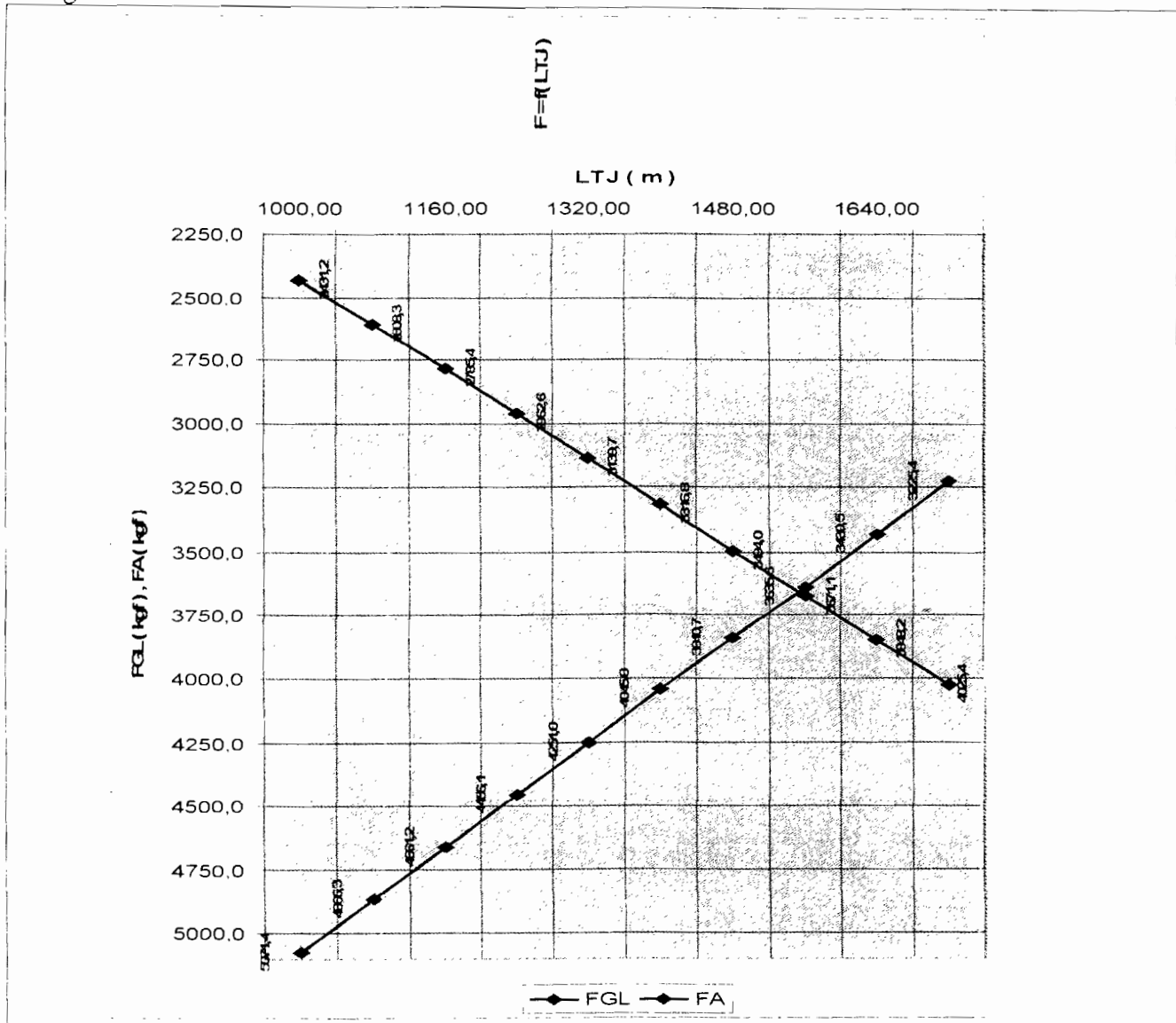
Tabelul 5

| INDICATIV SONDA | | | ANACONDA |
|-----------------|-----------|----------|------------------|
| $L_{TJ}i$ | F_{GLi} | F_{Ai} | $\Delta L_{TJ}i$ |
| - | m | kgf | kgf |
| 1 | 1000,00 | 2431,2 | 5071,4 |
| 2 | 1080,00 | 2608,3 | 4866,3 |
| 3 | 1160,00 | 2785,4 | 4661,2 |
| 4 | 1240,00 | 2962,6 | 4456,1 |
| 5 | 1320,00 | 3139,7 | 4251,0 |
| 6 | 1400,00 | 3316,8 | 4045,8 |
| 7 | 1480,00 | 3494,0 | 3840,7 |
| 8 | 1560,00 | 3671,1 | 3635,6 |
| 9 | 1640,00 | 3848,2 | 3430,5 |
| 10 | 1720,00 | 4025,4 | 3225,4 |
| | | | 2,6180 |

In etapa 12, se construieste diagrama 1, diagrama solicitarilor hidrodinamice, pe baza datelor generate de aplicatia **MOE** in tabelul 5.

Conform diagramei 1, se observa modul in care variaza fortele axiale F_{Ai} si fortele corespunzatoare greutatii coloanei de lichid F_{GLi} , in functie de lungimea tijelor L_{TJi} .

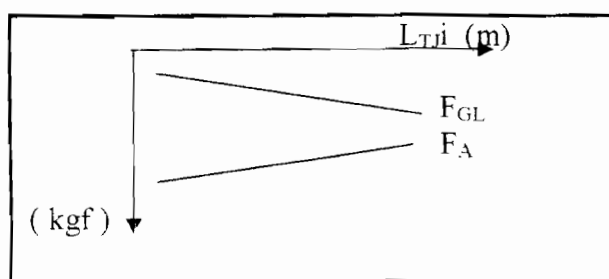
Diagrama 1



In practica se pot intalni doua situatii distincte.

O situatie este aceea in care fortele axiale F_A si fortele corespunzatoare greutatii coloanei de lichid F_{GL} se intersecteaza in domeniul de lungimi mari sau foarte mari al tijelor de pompaj L_{TJ} , punctul lor de intersectie aflandu-se la adancimi mai mari decat adancimea capului perforaturilor H_{CAP} , asa cum se vede in graficul 4.1 de mai jos :

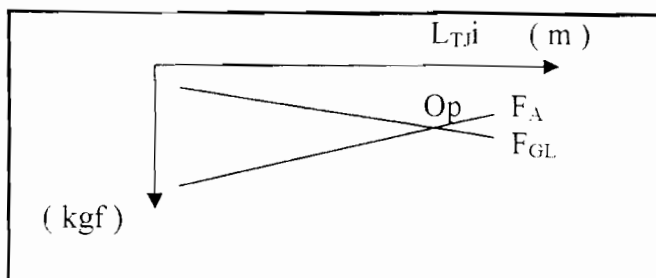
Grafic 4.1



Avand in vedere ca $F_A > F_{GL}$ se recomanda in aceasta situatie alegerea unei valori a lungimilor de prajini de pompaj, L_{TJ1}, \dots, L_{TJ10} , cat mai mare tehnologic posibila, pentru a evita solicitarea excesiva a elastomerului din statorul PCP si evitarea unei uzurii premature.

A doua situatie posibila este aceea reprezentat in graficul 4.2, in care cele doua forte F_A si F_{GL} se intersecteaza intr-un punct **Op**, pentru o anumita lungime a tijelor de pompaj L_{TJi} , ele sunt egale. Acest punct de intersectie poate fi interpretat ca un punct de optim, pentru care pompa PCP asigura un debit al sondei Q_{Sond} la o solicitare minima a fortei axiale F_A .

Grafic 4.2



Se poate constata cu evidență ca, amplasarea pompei la o adâncime mai mare decat cea corespunzatoare lungimii tijelor de pompaj L_{TJi} in punctul de optim **Op**, va conduce la o scadere a debitului sondei, deoarece PCP genereaza o forță F_A ce va trebui să invingă o forță suplimentară a greutății lichidului, F_{GL} .

In etapa 13 utilizatorul, pe baza datelor din diagrama 1, stabileste lungimea prajinilor de pompaj pe care o va utiliza , L_{TJi} , conform tipului de diagrama , in cazul dat alegand valoarea $L_{TJ7} = 1480$ m , conform diagramei 1 si grafic 4.2 .

In etapa 14 utilizatorul alege alungirea prajinilor de pompaj ΔL_{TJi} , corespunzatoare valorii lui L_{TJi} , stabilit in etapa 13 , disponand in acest moment datele de montaj a rotorului PCP, respectiv , $\Delta L_{TJ7} = 2,1474$ m , conform tabelului 5 .

Montajul rotorului PCP in stator se face practic respectandu-se conditia 5 .

$$\Delta L_{TJ} = (a + b + c) - (d + e + f + g + h + i) \quad (\text{conditia 5})$$

unde:

a-lungimea pompei de la boltul opritor la tevile de extractie;

b-lungimea tijelor de extractie;

c-inaltimea de la tevile de extractie la clema de prindere pe prajina de pompaj lustruita;

d-lungimea prajini de pompaj lustruita de la clema de prindere la prajinile de potrivire;

e-lungimea prajinilor de potrivire;

f-lungimea prajinilor de pompaj;

g-lungimea prajini de racord la rotor ;

h-lungimea rotorului pompei cu cavitati progresive ;

i-distanta dintre elastomerul pompei si boltul opritor , valoare prevazuta in catalogul producatorului de PCP .

In etapa 15 utilizatorul, avand la dispozitie datele de montaj, in functie de echiparea sondei cu dispozitive si echipamente care sa asigure curgerea hidrodinamica din strat si eventualele probleme ale coloanei sondei, cum ar fi sparturi de coloana de exploatare remediate sau papusari ale acesteia, care au afectat diametrul interior al acesteia la o anumita adâncime, va decide daca montajul PCP se

29-03-2011

poate efectua tehnologic la parametrii rezultati din etapele 2, 6, 13 si 14 sau daca este necesara reluarea procesului de alegere si montaj a PCP prin introducerea altor date initiale de intrare.

Avand in vedere datele din tabelul 5 si diagrama 1 se observa ca lungimea prajinilor de pompaj L_{TJ} corespunzatoare punctului de optim **Op** se afla situat intre iteratiile 7 si 8.

In consecinta, se poate face montajul pentru un $L_{TJ} = 1480$ m, alegandu-se din tabelul 5, asa cum s-a mentionat mai sus, valoarea corespunzatoare, respectiv $\Delta L_{TJ7} = 2,1474$ m.

Daca utilizatorul apreciaza ca parametrii de alegere a PCP din etapa 6, ΔL_{TJi} si L_{TJi} nu asigura eficienta tehnologica si economica corespunzatoare montajului PCP decide reluarea procesului de calcul prin modificarea datelor de intrare de la etapele 1, 4 si 8.

Pentru a avea date cat mai precise in jurul punctului **Op**, referitoare la valorile fortelelor care solicita garnitura de prajini de pompaj, a lungimii prajinilor de pompaj si a alungirii acestora, utilizatorul poate relua procesul de introducere a datelor din etapa 9 stabilind o noua iteratie de 10 valori, cu pasi $L_{TJ(i+1)} - L_{TJi}$ mai mici, de 30 m, prima valoare a lungimii garniturii de prajini fiind $L_{TJ1} = 1450$ m, care sa cuprinda punctul de optim **Op**.

Reamintim faptul ca iteratia initiala a constat in intervale mai mari, de 80 m, stabilite in etapa 9.

In exemplul dat, reluarea procesului de alegere si montaj, conform inventiei, se face cu urmatoarele valori : $L_{TJ1} = 1450$ m, $L_{TJ2} = 1470$ m, ... < **Op** < ... , $L_{TJ9} = 1610$ m, $L_{TJ10} = 1630$ m, adica cu pasi de 30 m, fata de 80 m in procesul initial.

Daca utilizatorul apreciaza ca parametrii de mai sus corespund montajului optim tehnologic se trece la etapa 16.

In etapa 16 utilizatorul, pe baza datelor din etapele 2, 6, 13 si 14, pe baza parametrilor: turatia pompei PCP, n_{PCP} , determinata in etapa 2, tipul PCP, debitul pompei Q_{PCP} si presiunea pompei p_{PCP} , determinate in etapa 6, adancimea de montaj a statorului H_{PCP} , luandu-se ca reper boltul opritor al PCP, definita ca suma dintre lungimea prajinilor de pompaj L_{TJi} , stabilit in etapa 13, alungirea prajinilor de pompaj ΔL_{TJi} , stabilita in etapa 14 si distanta i dintre elastomerul statorului PCP si boltul opritor, stabilit in etapa 4, decide montajul PCP in sonda de extractie.

$$H_{PCP} = L_{TJi} + \Delta L_{TJi} + i \text{ (m)} \quad (\text{conditia 6})$$

Precizam ca adancimea de montaj a pompei H_{PCP} , prezentata in figura 1, este echivalenta cu suma dintre lungimea pompei de la boltul opritor la tevile de extractie **a**, lungimea tevilor de extractie, **b** si inaltimea de la tevile de extractie la clema de prindere a prajinei lustruite, **c**, acest lucru reprezentand o cheie de control in procesul de montaj in raport cu conditia 6..

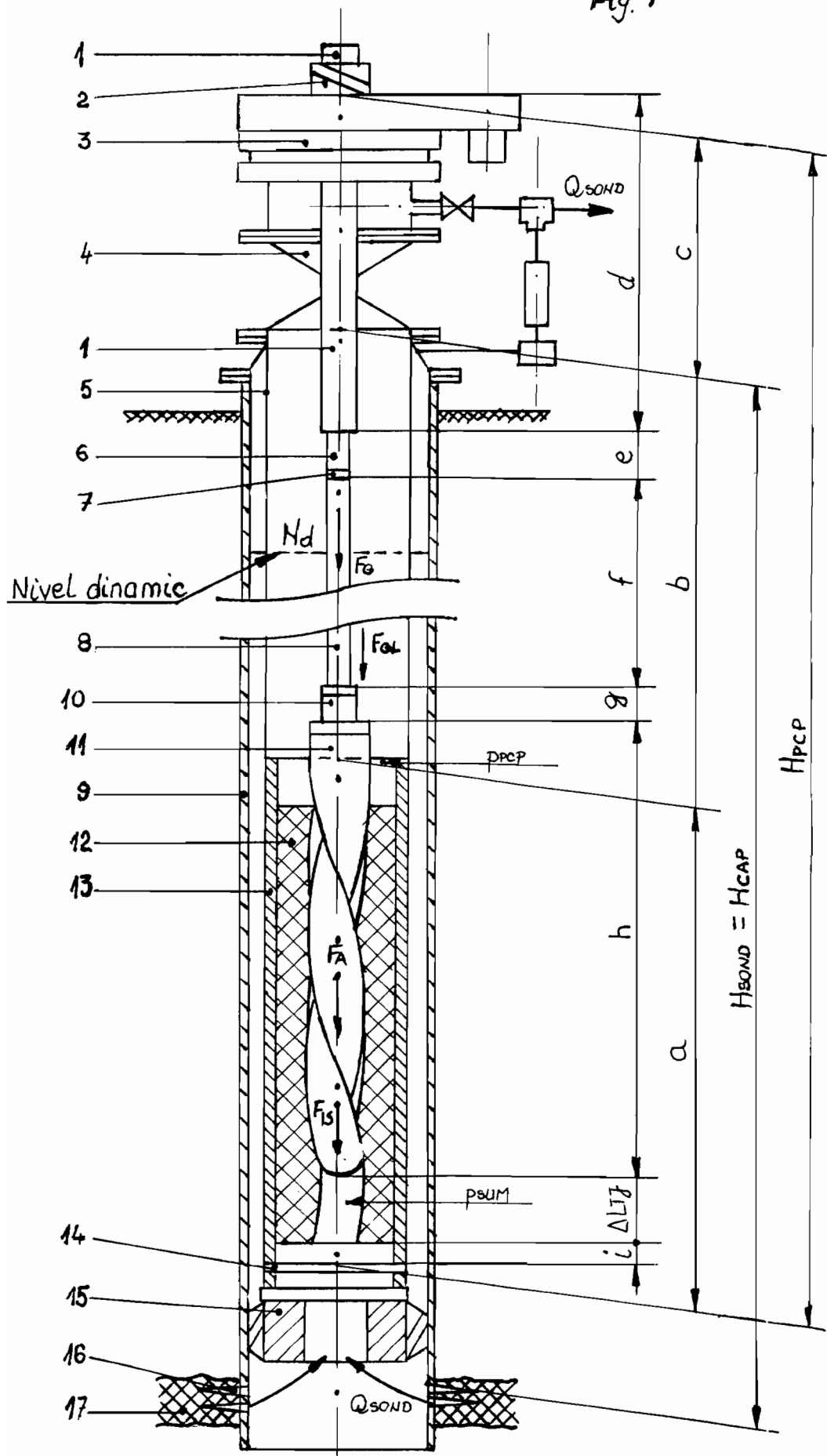
Asadar, in exemplul de fata, conform metodei, datele de alegere si montaj ale pompei sunt urmatoarele:

- tipul PCP este PITON 160-TP-2000-SL ;
- $n = 100$ rot/min ;
- $Q_{PCP} = 25,6$ mc/zi ;
- $p_{PCP} = 200$ at ;
- lungimea prajinilor de pompaj $L_{TJ} = 1480$ m ;
- alungirea prajinilor este $\Delta L_{TJ7} = 2,1474$ m .
- distanta dintre boltul opritor si elastomer $i = 0,40$ m
- adancime montaj $H_{PCP} = L_{TJ7} + \Delta L_{TJ7} + i = 1480 + 2,1474 + 0,40 = 1482,5474$ m.

REVENDICARI

1. Metoda de alegere si montaj a pompelor cu cavitati progresive utilizate in sistemele de exploatare a sondelor de extractie a titeiului, **caracterizata prin aceea ca**, are la baza:
 -un bloc decizional de alegere a pompei cu o structura de 9 etape , avand ca date de iesire: tipul PCP, turatia n_{PCP} a pompei, debitul pompei Q_{PCP} si presiunea pompei p_{PCP} ;
 -un bloc intermediar de calcul al fortei asociate greutatii prajinilor de pompaj $F_{G,b}$, al fortei exercitata de greutatea lichidului F_{GL} , al fortei axiale din pompa F_A si al fortei de insurubare F_I ;
 -un bloc decizional de montaj al pompei PCP cu o structura de 5 etape, in care sunt calculate prin 10 iteratii succesive fortele exercitate de greutatea lichidului $F_{GL,i}$, fortele axiale $F_{A,i}$ si alungirile tijelor de pompaj $\Delta L_{T,j,i}$, corespunzatoare a 10 valori de lungimi ale prajinilor de pompaj $L_{T,j,i}$, cuprinse in intervalul dintre nivelul dinamic de functionare al sondei N_d si adancimea capului perforaturilor H_{CAP} .
2. Metoda de alegere si montaj a pompelor cu cavitati progresive utilizate in sistemele de exploatare a sondelor de extractie a titeiului, conform revendicarii 1, **caracterizata prin aceea ca**, blocul decizional de montaj contine in etapa 15 un bloc de decizie prin intermediul caruia utilizatorul decide pe baza parametrilor: turatia n_{PCP} a pompei, debitul pompei Q_{PCP} si presiunea pompei p_{PCP} rezultati din etapa 6 si lungimile prajinilor de pompaj $L_{T,j,i}$, rezultate in etapa 13 si alungirile tijelor de pompaj $\Delta L_{T,j,i}$, rezultate in etapa 14, daca reia ciclul etapizat al metodei prin introducerea altor date initiale de intrare sau daca decide montajul pompei PCP cu parametrii rezultati.
3. Metoda de alegere si montaj a pompelor cu cavitati progresive utilizate in sistemele de exploatare a sondelor de extractie a titeiului, conform revendicarii 1, **caracterizata prin aceea ca**, forta totala care actioneaza asupra prajinilor de pompaj F_T este compusa din forta asociata greutatii prajinilor de pompaj $F_{G,b}$, forta exercitata de greutatea lichidului F_{GL} , forta axiala din pompa F_A si forta de insurubare F_I .
4. Metoda de alegere si montaj a pompelor cu cavitati progresive utilizate in sistemele de exploatare a sondelor de extractie a titeiului, conform revendicarii 1 si 3, **caracterizata prin aceea ca**, alungirea prajinilor de montaj $\Delta L_{T,j}$, ca si cota de montaj al rotorului PCP si stator, este direct proportionala cu forta totala F_T care actioneaza asupra prajinilor de pompaj.
5. Metoda de alegere si montaj a pompelor cu cavitati progresive utilizate in sistemele de exploatare a sondelor de extractie a titeiului, conform revendicarii 1, 3 si 4, **caracterizata prin aceea ca**, in procesul de montaj al rotorului PCP in pompa trebuie indeplinita conditia ca alungirea prajinilor de pompaj $\Delta L_{T,j}$ sa fie egala cu diferența dintre suma constant din lungimea pompei de la boltul opritor la tevile de extractie **a**, lungimea tevilor de extractie **b** si inaltimea de la tevile de extractie la clema de prindere a prajinei lustruite **c** si suma constant din lungimea prajinii de pompaj lustruita de la clema de prindere la prajinile de potrivire **d**, lungimea prajinilor de pompaj de potrivire **e**, lungimea prajinilor de pompaj **f**, lungimea prajinii de racord la rotorul PCP **g**, lungimea rotorului pompei PCP, **h** si distanta dintre elastomerul statorului PCP si boltul opritor **i**
6. Metoda de alegere si montaj a pompelor cu cavitati progresive utilizate in sistemele de exploatare a sondelor de extractie a titeiului, conform revendicarii 1, 2 , 3 si 4, **caracterizata prin aceea ca**, in scopul evitarii suprasolicitarii pompei PCP, forta axiala F_A din pompa trebuie sa fie cel putin egala sau superioara fortei exercitate de greutatea lichidului F_{GL} , pentru a asigura obtinerea debitul sondei Q_{Sond} utilizand o pompa cu un debit Q_{PCP} cu eficienta E_f de 85%, in conditiile unei presiuni cu valoarea de 85% din presiunea de catalog a pompei p_{PCP} .

7. Metoda de alegere si montaj a pompelor cu cavitati progresive utilizate in sistemele de exploatare a sondelor de extractie a titeiului, conform revendicarii 1, 2 si 5, **caracterizata prin aceea ca**, adancimea de montaj a PCP, H_{PCP} , este constituita din suma lungimii prajinilor de pompaj L_{TJi} , stabilit in etapa 13, alungirea prajinilor de pompaj ΔL_{TJi} , stabilita in etapa 14 si distanta i dintre elastomerul statorului PCP si boltul opritor, stabilit in etapa 4, adancimea de montaj a PCP, H_{PCP} , fiind echivalenta in acelasi timp cu suma dintre lungimea pompei de la boltul opritor la tevile de extractie **a**, lungimea tevilor de extractie, **b** si inaltimea de la tevile de extractie la clema de prindere a prajinei lustruite, **c**, acest lucru reprezentand o cheie de control in procesul de montaj al pompei.



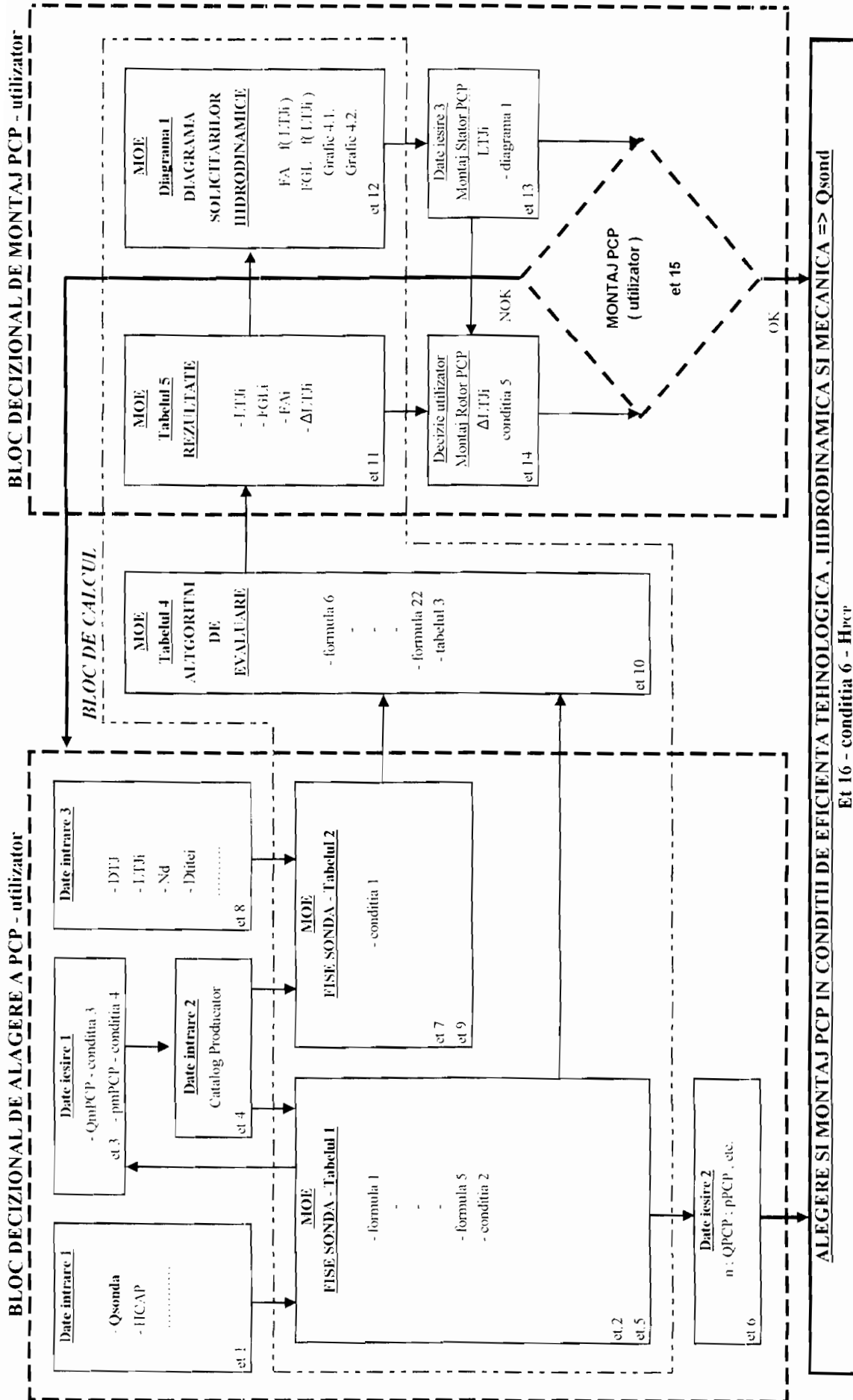


Fig. 2